

川崎製鉄技報
KAWASAKI STEEL GIHO
Vol.10 (1978) No.1

連鉄製高級線材・棒鋼・管材の品質

Quality of Steel Bars, Wires and Seamless Tubes Made out of Continuously Cast Blooms

大井 浩(Hiroshi Oi) 浅川 貞夫(Sadao Asakawa) 福永 修三(Syuzo Fukunaga)
田村 寿恒(Toshihisa Tamura) 中川 康弘(Yasuhiro Nakagawa)

要旨：

1973年10月に稼動した水島製鉄所のブルーム、ビームブランク兼用の第3連続鋳造設備は順調な操業を続けている。なかでも、高級鋼である機械構造用炭素鋼、PC鋼棒用線材、ピアノ線材、タイヤコード用線材および継目無钢管用ビレット素材の製造技術を確立し、量産していることはビームブランク連鉄技術と併せて非常に特徴的のことである。これら製品の品質を従来の造塊材と比較して調査した結果、連鉄材は偏析、介在物、表面欠陥および需要家における線材使用結果の点で特に優れていることが判明した。

Synopsis :

The No.3 continuous casting machine at Mizushima Works has been making a satisfactory operation ever since its start in October 1973. Operation techniques have been established to manufacture high quality products such as carbon steel bars for machine structural use, wire rods for piano wire, PC wire or tire cord and billets for seamless tubes. In comparison with the products of conventional ingot process, those of continuous casting process are found to have excellent quality especially in the degree of segregation, inclusion and surface defects. Continuously cast wire rods for piano wire, PC wire or tire cord are also found acceptable to users through their tests.

(c)JFE Steel Corporation, 2003

本文は次のページから閲覧できます。

UDC 669.14.018.292:621.746.047
 669.14.018.295.3:669.14.426.2
 669.14-462.3:620.191/192

連鉄製高級線材・棒鋼・管材の品質

**Quality of Steel Bars, Wires and Seamless Tubes Made
out of Continuously Cast Blooms**

大井 浩* **浅川 貞夫****

Hiroshi Oi

Sadao Asakawa

福永修三*** **田村寿恒******

Syuzo Fukunaga

Toshihisa Tamura

中川康弘*****

Yasuhiro Nakagawa

Synopsis:

The No.3 continuous casting machine at Mizushima Works has been making a satisfactory operation ever since its start in October 1973. Operation techniques have been established to manufacture high quality products such as carbon steel bars for machine structural use, wire rods for piano wire, PC wire or tire cord and billets for seamless tubes.

In comparison with the products of conventional ingot process, those of continuous casting process are found to have excellent quality especially in the degree of segregation, inclusion and surface defects. Continuously cast wire rods for piano wire, PC wire or tire cord are also found acceptable to users through their tests.

1. 緒 言

線材・棒鋼製品のうち、機械構造用炭素鋼棒鋼、PC 鋼棒用線材、タイヤコード用線材および継目無鋼管用ビレットなどの高級品種は偏析などについて厳しい要求があるため、従来は比較的小型鋼塊から製造するのが通常であった。

一方、水島製鉄所ではブルーム用の第1連鉄機¹⁾が1968年6月に、またブルーム、ビームブラング兼用の第3連鉄機²⁾が1973年10月に稼動した。特に後者では介在物の減少に有利な大断面の鋸型を採用し、品質および生産性の向上につとめた結

果、上記用途の高級品種も大断面連鉄ブルームから製造できるようになった。その間の連鉄技術の改善経過についてはすでに報告³⁾した。

本報では品質特性の観点から、上記各鋼種の連鉄ブルームおよびこれから製造した製品・半製品（以後連鉄材と称する）を、従来の造塊法による小型鋼塊から製造した製品・半製品（以後造塊材と称する）と比較して報告する。

2. 機械構造用炭素鋼棒鋼

JIS G 4051 に規定されている機械構造用炭素鋼棒

* 水島製鉄所管理部部長

** 水島製鉄所管理部条鋼管理課

*** 水島製鉄所管理部厚板管理課
(昭和52年1月5日原稿受付)

**** 水島製鉄所管理部条鋼管理課掛長

***** 水島製鉄所管理部条鋼管理課課長

鋼（以下 SC 棒鋼という）について、当所で現在製造しているサイズは圧延機別に次のようになっている。

棒鋼工場：16～75mm ϕ

鋼片工場：80～130mm ϕ

大形工場：140～300mm ϕ

この品種のうち、特に 16～60mm ϕ のものは自動車部品用に使用される場合が多く、品質に対する要求も特に厳しい。

2.1 製品に要求される品質

SC 棒鋼の用途は拡大、高級化の傾向にあり、一般構造用圧延鋼材 (SS材) と合金鋼の中間に位置して使用量も徐々に増大している。その理由として次の 3 点があげられる。

- (1) SS 材に比べて品質に対する信頼度が高い。
- (2) JIS に規定されているとおり、多規格にわたっているので選択の余地が大きい。
- (3) 近年、SC 材の品質が特に向上してきたため、従来合金鋼を使用していた領域に逐次 SC 材が進出し、大幅なコストダウンを可能にしている。

各需要家の代表的な使用例を加工方法別に分類して Table 1 に、また当社における重要品質管理点を Table 2 に示す。なお、上記以外に強度、特に疲労強度も問題となるが、これは上記諸項目の組合せおよび素材から製品にいたる全圧延比に

大きく支配される。

2.2 ブルーム品質向上策

前記諸要因のうち、化学組成と圧延比以外のものについては铸造ブルームの品質の影響が非常に大きい。铸造ブルームの割れや介在物の減少策については別報で述べた³⁾が、そのうち特に重要な対策を要約して以下に示す。

- (1) 表面欠陥：低粘度パウダーの採用、スプレー冷却帶頭部弱冷バターンの採用、高い铸造速度の確保
- (2) 非金属介在物：取鍋～タンディッシュ間のシール、トンネルーセキ型タン

Table 2 Quality control items at each treatment

Treatment	Control items
Cutting	Macro streak flaw, cleanliness, machinability, tolerance of dimension
Forging	Surface defects, segregation, cleanliness, macro streak flaw
Heat treatment	Austenite grain size, segregation, chemical composition
Drawing	Macro streak flaw, cleanliness, machinability, tolerance of dimension, austenite grain size, segregation, chemical composition

Table 1 Main uses of machine structural carbon steel bars corresponding to treating process in the user

Process	Main uses
Cutting → Heat treatment → Products	Bolt, nut, motor shaft, pin, hydraulic cylinder, flange, etc.
Hot forging → Cutting → Heat treatment ↓ Hardening → Cutting → Products ←	Bolt, nut, gear, car part (crank-shaft, cam-shaft, etc.), tool (wrench, spanner, etc.), flange, etc.
Cold forging → Cutting → Heat treatment ↓ Products ←	Bolt, screw, tool (wrench, spanner, etc.), etc.
Drawing → Cutting → Heat treatment ↓ Products ←	Pin, shaft, hydraulic cylinder, etc.

ディッシュの採用、溶鋼温度
の適正管理

(3) 偏析：適正管理された低温注入

このような諸対策の結果、Photo. 1(a) (b) に示すように大断面ブルームのマクロ組織はきわめて良好である。

2・3 製品・半製品の品質と所要圧延比

圧延比の減少に伴う内部品質の変化を調査した。ブルーム寸法 $300 \times 400\text{mm}$ の場合 $180\text{mm}\phi$ (圧延比 4.7) 以下は造塊材と差がなく良好であることがわかった。なお、供試材の化学成分および圧延寸法を Table 3 に示す。

以下に述べる調査結果より、連続ブルームは圧延比 4.7 ($180\text{mm}\phi$) 以上なら製品化可能と結論で

Table 3 Chemical composition and size of specimens of carbon structural steel bars

Casting	Chemical composition (%)						
	C	Si	Mn	P	S	Al	C_{eq}^*
C.C.	0.44	0.21	0.71	0.022	0.019	0.012	0.56
Conv.	0.44	0.35	0.70	0.020	0.014	0.012	0.56
Diameter (mm)	180	160	140	130	90	75	30
Reduction ratio	C.C.	4.7	6.0	7.8	9.0	18.9	27.2 170.0
	Conv.	-	30.8	40.2	46.5	97.3	140.1

$$* C_{eq} = C + Mn/6$$

きる。 $80 \sim 180\text{mm}\phi$ についてはさらに疲労試験などのデータの蓄積とその検討を行ったうえで工程

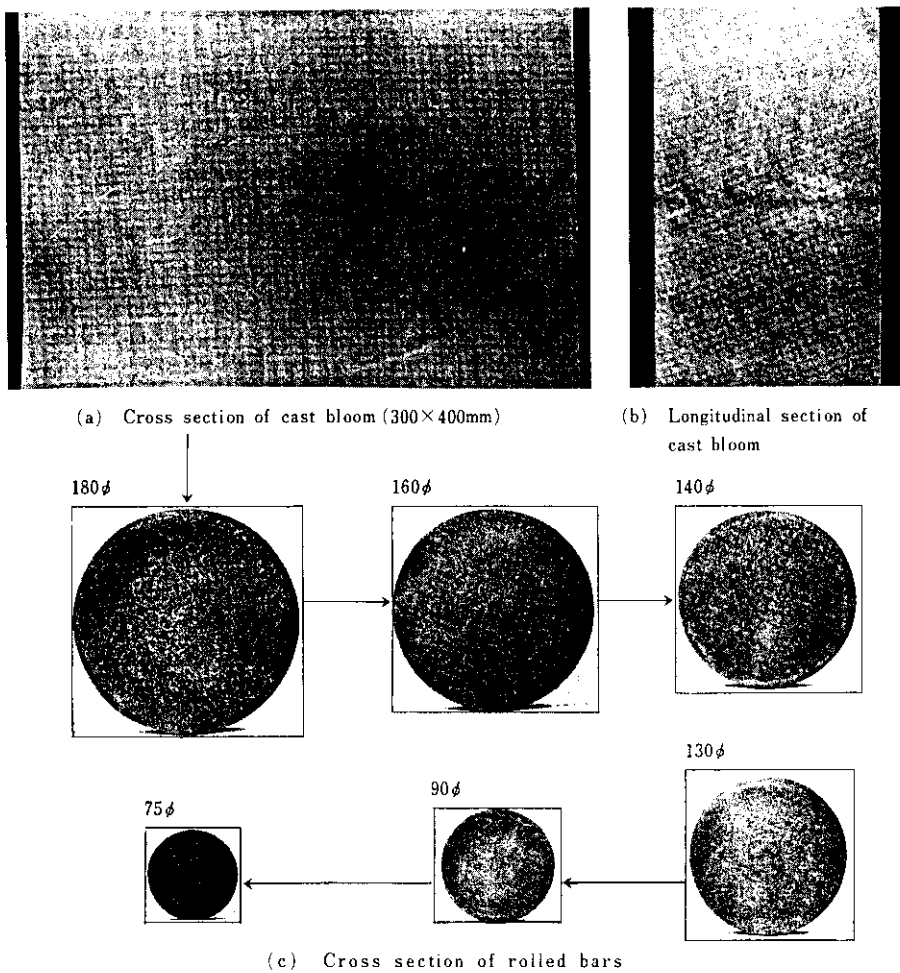


Photo. 1 Macrostructure of continuously cast S45C bloom and bars (20% HCl etched)

化する予定である。

2・3・1 機械的性質

引張試験
(JIS 3号試験片) | アズロール
衝撃試験
(JIS 3・4号試験片) | 25mm ϕ 鍛伸後,
 焼入れ・焼戻し
 (熱処理:JIS G 4051)
の実験条件で各圧延寸法と機械的性質の関係を調査した。結果の一部を Fig. 1, 2 に示す。アズロール材の機械的性質は圧延比の増加とともに向上するが、これは Fig. 1 に示す圧延比と結晶粒度の関係から説明できる。引張強さと降伏点および衝撃値は圧延比 7.8 (140mm ϕ) 以上では、また伸び、絞りは圧延比 4.7 (180mm ϕ) 以上ではほぼ一定となっている。一方、鍛伸後焼入れ、焼戻しを行ったものについては、全加工比が同一なため圧延比

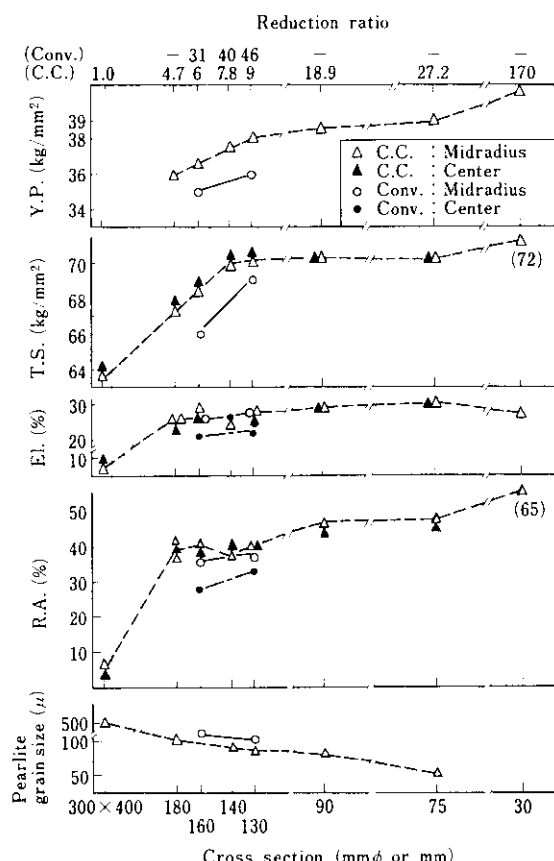


Fig. 1 Influence of reduction ratio on tensile properties and pearlite grain size of S45C as-rolled bars

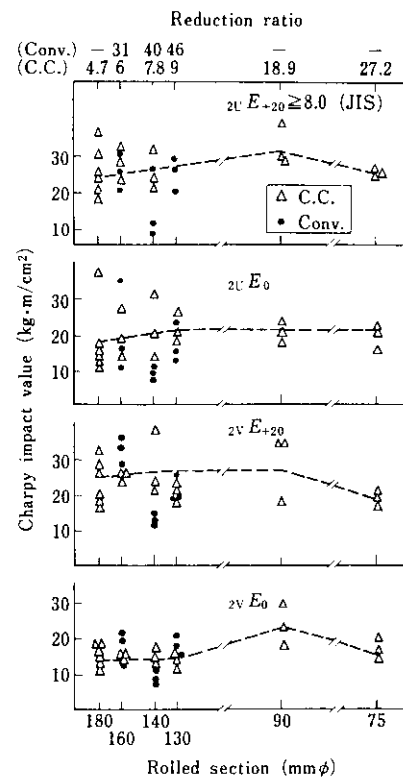


Fig. 2 Influence of initial rolling reduction ratio on Charpy impact value of 25mm ϕ , S45C forged bars (Q.T.)

による傾向は認められなかった (Fig. 2 参照)。各試験項目とも平均的には連鉄材、造塊材の差はほとんどなかったが、造塊材に認められるような悪い側への異常なバラツキは連鉄材では認められなかった。

次に、Table 4 に示す化学成分を有する S 50C, 75mm ϕ 丸棒の中心部より Fig. 3 に示す寸法に機械加工した試験片について、小野式回転曲げ試験機による疲労試験を行った。その結果を Fig. 3 に示す。連鉄材は造塊材と同レベルで鉄片の長手方向、すなわちトップ、ミドルおよびボトムの各部での差はなく良好である。

2・3・2 マクロ・ミクロ組織

各サイズのマクロ組織を Photo. 1(c) に示した。いずれも偏析などによる異常組織は認められない。また、製品径 75mm ϕ のマクロ組織を Photo. 2 に C の偏析を Fig. 4 に造塊材と比較して示す。連鉄材にはトップ、ミドル、ボトム部とも中心偏析がほと

Table 4 Details of 75mm ϕ , S50C specimens for fatigue test

Casting	Position	Grade	Chemical composition (%)						Y.P. (kg/mm ²)	T.S. (kg/mm ²)	
			C	Si	Mn	P	S	Al			
C.C.	Top	S50C								66.0	85.0
	Middle		0.51	0.23	0.78	0.023	0.020	0.012	0.64	66.0	85.0
	Bottom									66.0	84.9
Conv.	Middle	S50C	0.51	0.28	0.82	0.019	0.021	0.013	0.65	65.8	84.8

* C_{eq}=C+Mn/6

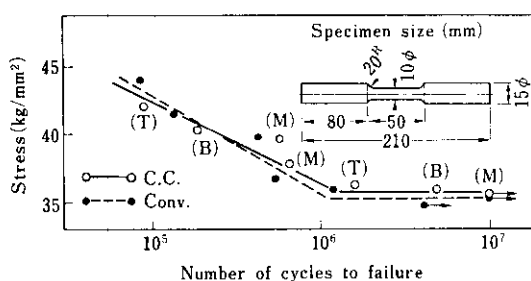


Fig. 3 Fatigue test results of 75mm ϕ , S50C bars
quench-tempered

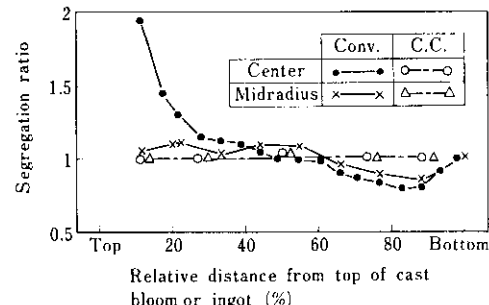


Fig. 4 Carbon segregation in 75mm ϕ , S45C bars

んど認められず良好であり、造塊材で観察される鋼塊トップ部の濃厚偏析もなかった。また鋳込長さ方向(L方向), 断面方向(C方向)ともに造塊材より均一性がはるかに優れている。

つぎに、横断面のミクロ組織を Photo. 3 に示

す。各組織ともフェライト・パーライト組織であり、造塊材と同等の組織を呈している。なお、アズロールでのパーライト粒の平均径は Fig. 1 に見られるように圧延比の増加に伴い小さくなっている。

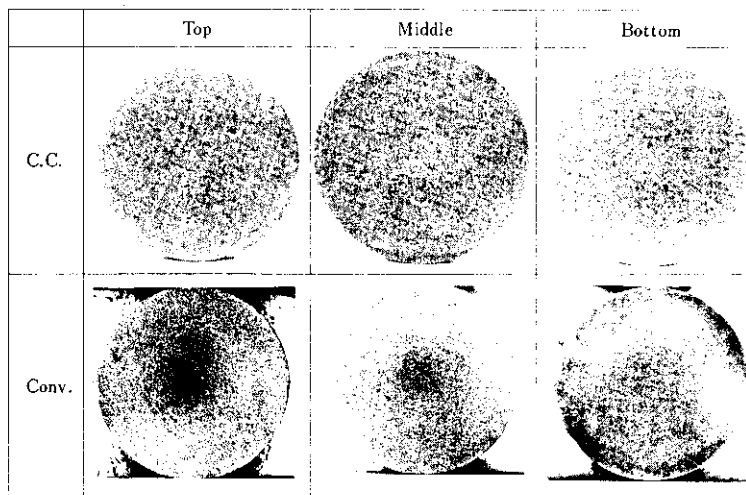


Photo. 2 Macrostructure of bars (dia.: 75mm, JIS S45C)

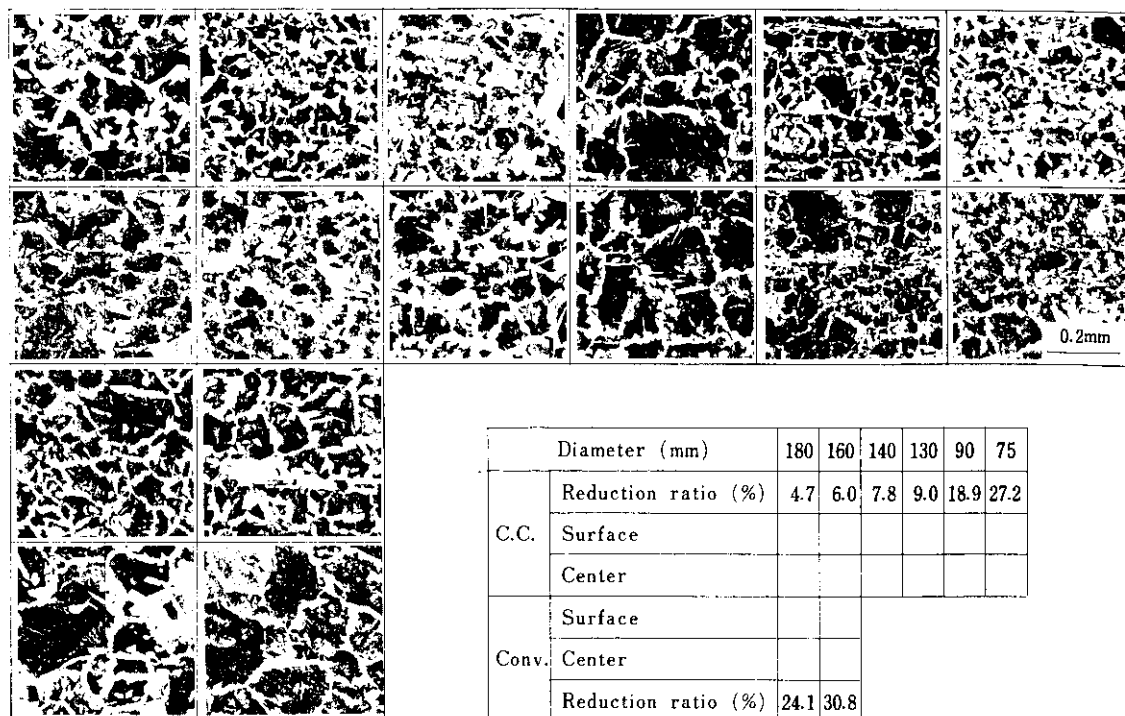


Photo. 3 Typical microstructures of S45C bars

一方、オーステナイト結晶粒度は、Photo. 4 に示すように Al 量と関係があり、連鉄材と造塊材の差はない。

また Al 量の目標は $15 \times 10^{-3} \%$ ので、結晶粒度は $G_C = 8$ 程度で細粒かつ整粒となっている。

2・3・3 内部欠陥・表面欠陥

(1) 地きず

地きずと圧延比は一定の相関があり⁴⁾、圧延比が大きいほど地きず長さは大きくなる傾向があるという報告⁵⁾もあるが、当社の造塊材の場合、JIS G 0556 にもとづく試験方法により、Table 5 に示す

要領で評点化すると圧延比が大きいほど地きず成績が向上することがわかっている。Fig. 5 に各サイズの地きず試験結果を示す。圧延比 4.7 (180mm ϕ) 以上では連鉄材はすべて判定 A であり、同一径の造塊材と比べて良好である。また現在、通常工程ではブルーム断面 300×400mm の鋳片を製品径 75mm ϕ 以下に圧延しており、圧延比は 27~597 となっている(一部需要家より造塊材の使用を指

Table 5 Evaluation of macro streak flaw

Grade	Total number of macro streak flaw	Summation of macro streak flaw	Maximam length of macro streak flaw
A	≤ 7	≤ 15	≤ 4
B	-	≤ 20	≤ 8
C	-	≤ 40	≤ 20
D	-	≤ 50	≤ 30

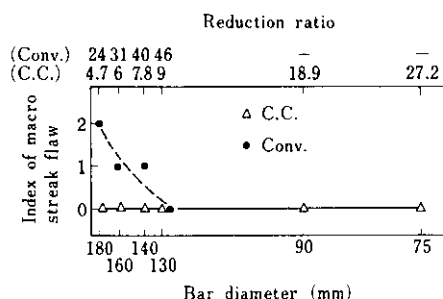


Fig. 5 Influence of reduction ratio on the index of macro streak flaw calculated as $(b + 2c)$, where b and c denote each points in flaw ranks B and C respectively

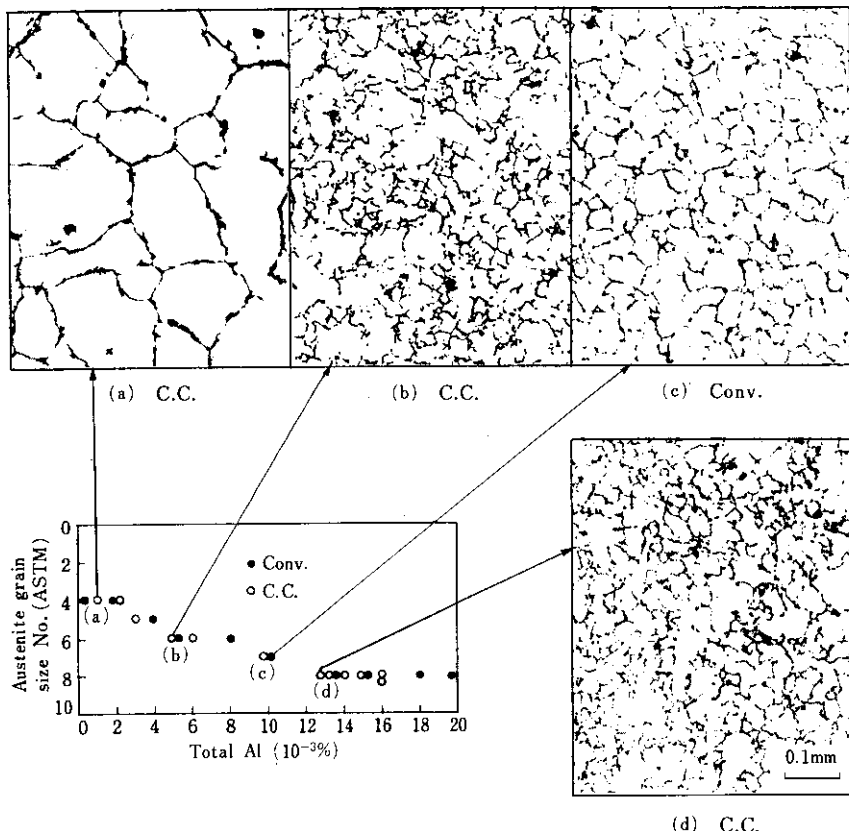


Photo. 4 Relation between austenite grain size and Al content (JIS S43C-S48C)

定される場合もある)。Fig. 6に現行の最大径である75mm ϕ の結果を示す。同図にはJISに準ずる3段削りのほかに表面直下(表面より深さ1.5mmまで)の地きず評点を示したが、連鉄材は造塊材と比べ良好である。

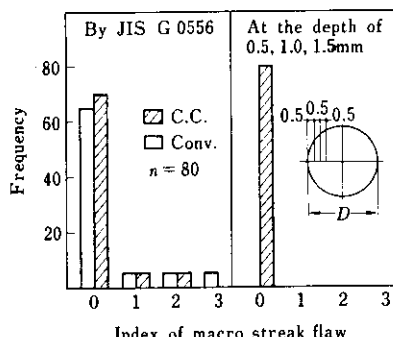


Fig. 6 Frequency distribution of the index of macro streak flaw of 75mm ϕ , S40C bars

(2) 非金属介在物

長手方向断面の介在物観察結果をPhoto.5に、また清浄度(JIS G 0555)の測定結果をFig.7に示す。これより次のことがわかる。

- (a) 連鉄材の介在物は造塊材に比べ小さく、細く伸びたものが多い。これは連鉄材の介在物がすべてA系介在物であり、造塊材はA系とB系の介在物からなるためと考えられる(Photo.5参照)。
- (b) 連鉄材の清浄度は造塊材の1/2以下で良好である。
- (c) 連鉄材は製品径が小さいほど清浄度が良好であるのに対し、造塊材にはその傾向がない。

(3) 表面欠陥

初期の連鉄材について多数の製品表面きずを顕微鏡で調査した結果、脱炭、内部酸化しているものが約80%を占め、ブルーム鉄片での表面きずが製品に悪影響を及ぼしていることがわかった。

Diameter (mm)	180	160	140	75
Reduction ratio (%)	4.7	6.0	7.8	27.2
C.C.	Surface			
	Center			
Conv.	Surface			
	Center			
Reduction ratio (%)	24.1	30.8	40.0	140

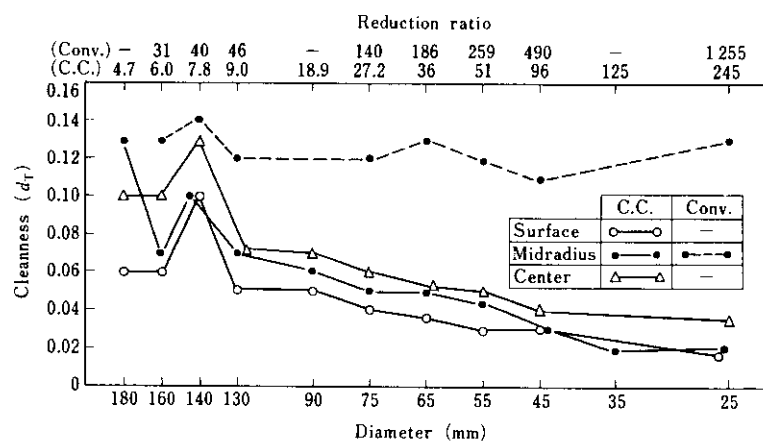
Photo. 5 Typical inclusions observed in 75mm ϕ , S45C bars

Fig. 7 Influence of reduction ratio on the cleanliness of S45C bars

一方、前記の諸対策実施後は、Fig. 8に示すように磁気探傷検査で製品にきずがまったく存在しない本数割合が92%で、きず長さ、きず深さは浅く短いものとなっている。

3. 高級線材

PC鋼棒用線材、ピアノ線材およびタイヤコード用線材について、現在生産量の多い鋼種の化学

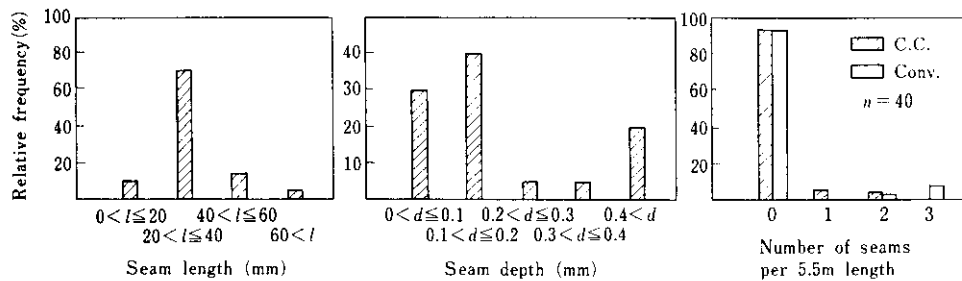


Fig. 8 Surface quality of 75mmφ bars tested by magnetic inspection

Table 6 Chemical composition of steel bars and wire rods being produced in Mizushima Works

(wt%)

Steel type	Grade	C	Si	Mn	P	S	Cu	Cr	Ti	Al
PC bar	RB25	0.23~0.27	0.40~0.60	1.30~1.60	≤0.025	≤0.025	≤0.08	0.05~0.13	0.015~0.025	0.000
Piano wire rod	SWRS82B	0.80~0.85	0.15~0.32	0.60~0.90	≤0.025	≤0.025	≤0.20	—	—	—
Tire cord	KTC70	0.70~0.76	0.15~0.30	0.40~0.65	≤0.030	≤0.030	—	—	—	—

成分を Table 6 に示す。

3・1 製品に要求される品質

(1) PC 鋼棒用線材およびピアノ線材

PC パイル、コンクリート橋桁など土木構造物に使用される PC 鋼棒は、コンクリート構造物の緊張材などに使用されるピアノ線材とともに、鋼材の使用条件としては苛酷な部類に属するものである。これら素材の品質特性と製品の品質特性は Fig. 9 のように関連づけられる。

(2) タイヤコード用線材

近年、土木建築用車両から小型自動車用まで、ゴ

ムタイヤには補強材料としてスチールコードが使用されている。このスチールコードの原材料は高炭素鋼線材であるが、このコードの素線の最終直径は 0.12mmφ で、線材のうちでも加工度の最も高いものである。コードそのものの品質としては、機械的性質からゴム付着性など多くの項目があるが、製品メーカーの加工面からの素材に対する要求もまた厳しいものがある。スチールコードと素材の各品質特性は Fig. 10 のように関連づけられる。

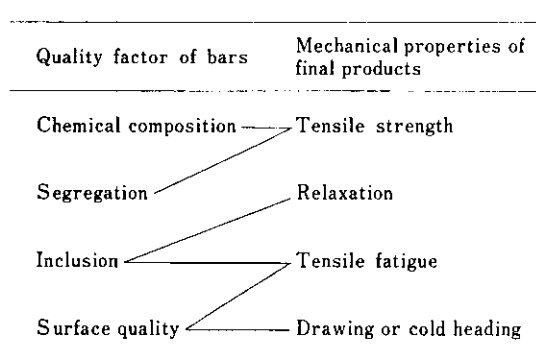


Fig. 9 Schematic quality relation of bars and final products such as piano wire and PC rod

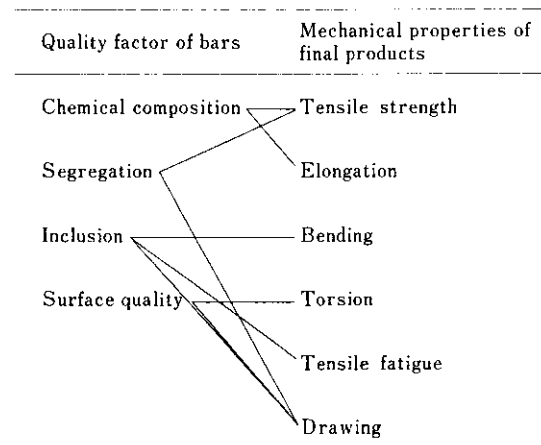


Fig. 10 Schematic quality relation of bars and final products such as tire cord

3・2 ブルーム品質向上策

前述のように、素材（線材）として偏析・介在物および表面品質の良好なことが必要であり、連鉄ブルームの品質向上対策は2・2と同様である。ただし、タイヤコード用線材については、介在物減少対策として下記の2点を追加した。

- (1) アルミナ源の侵入防止
 - (a) リムド鋼受鋼後の鍋を使用
 - (b) Al含有量の少ない合金鉄、スクラップの使用
- (2) 真空脱ガス処理による酸素量の低減

3・3 製品品質

3・3・1 偏析

PC鋼棒用線材の80×80mmビレットにおけるC分析結果をFig. 11に、また11mmφ線材のマクロ組織をPhoto. 6に示す。

連鉄材には造塊材のようにトップ部の濃厚偏析ではなく、長手方向、断面方向ともに均一で安定している。また、ピアノ線材、タイヤコード用線材の場合も同傾向であった。

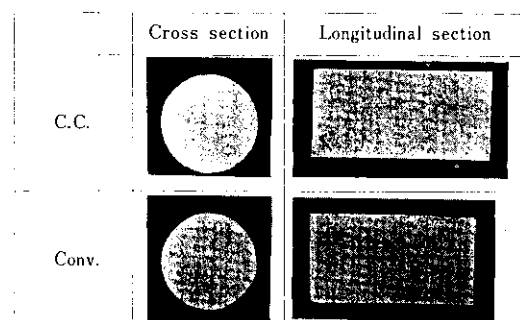


Photo. 6 Macrostructure of 11mmφ wire rod from top bloom (grade: RB25)

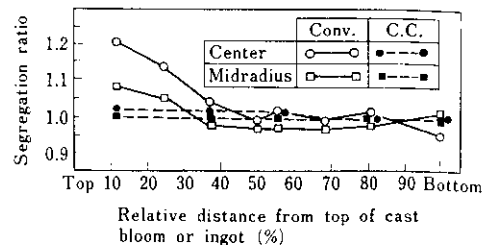


Fig. 11 Carbon segregation in 80×80mm billets for PC

3・3・2 非金属介在物

介在物の測定値は、JIS法、ASTM法あるいはペナルティポイントなる指数で評価される。ペナルティポイントは幅5.5mm×長さ5mmの長手方向断面を検鏡面とし、0.75mmの視野中の最も清潔でない視野の介在物の個数、最大介在物の幅、さらに介在物の変形の程度を総合的に評価するものであり、介在物の個数が少なく、幅が小さく、変形しているほどその値が小さくなり良好であることを示す。

PC鋼棒用線材、ピアノ線材およびタイヤコード用線材とも上記介在物のいずれの測定方法においても、連鉄材は造塊材と差がなく良好である。

たとえばTable 7にASTM-A法によるピアノ線材の介在物測定結果を、Fig. 12にペナルティポイント法によるタイヤコード用線材の介在物測定結果を、またPhoto. 7にタイヤコード用線材の介在物形態を示す。

この結果は以下のように要約される。

- (1) ピアノ線材（連鉄材、造塊材とも）について
 - (a) 介在物はB系、C系および分散した酸化物である。

Table 7 Inclusion ratings by ASTM-A of 9.5mmφ bar for piano wire (JIS SWRS82B)

Casting	n	Type A (sulfide)		Type B (Al ₂ O ₃)		Type C (silicate)		Type D (globular oxide)	
		Thin ≈ 4μ	Heavy ≈ 6μ	Thin ≈ 9μ	Heavy ≈ 15μ	Thin ≈ 5μ	Heavy ≈ 9μ	Thin ≈ 8μ	Heavy ≈ 12μ
C.C.	15	0	0	1.0	0	1.5	0	1.8	0
Conv.	15	0	0	1.5	0	2.0	0	2.0	0

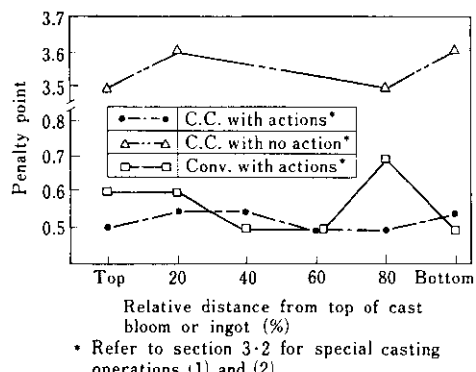


Fig. 12 Distribution of nonmetallic inclusions in PC wire rod by different process

- (b) 巨大介在物は存在せず、微小な介在物がほとんどである。
 - (c) ASTM 評点は 2 点程度まで、1 視野中の介在物個数は少ない。
- (2) タイヤコード用線材について
- (a) 連鑄材のペナルティポイントは、造塊材に比し鋳片位置に関係なく均一で良好である。
 - (b) 介在物の形状は変形したものが見られる。これはアルミナの侵入防止を図った効果と推定される。

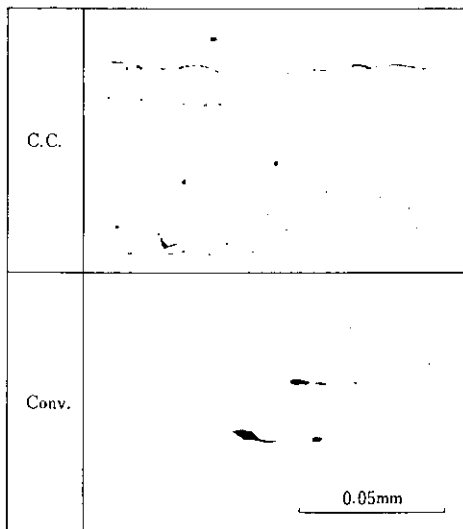


Photo. 7 Typical inclusions observed in 5.5mmφ wire rod (grade: KTC70)

3.3.3 ミクロ組織

ピアノ線材のミクロ組織を Photo. 8 に示す。連鑄材、造塊材ともフェライト・パーライト組織であり、差は認められない。また、PC 鋼棒用線材、タイヤコード用線材も、連鑄材と造塊材との差は認められなかった。

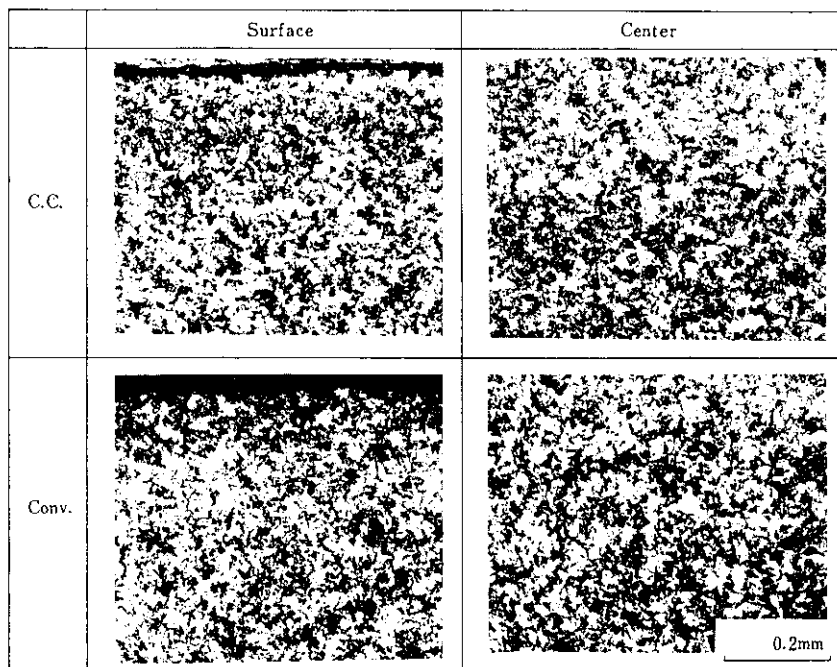


Photo. 8 Typical microstructures of 9.5mmφ wire rod (JIS SWRS82B)

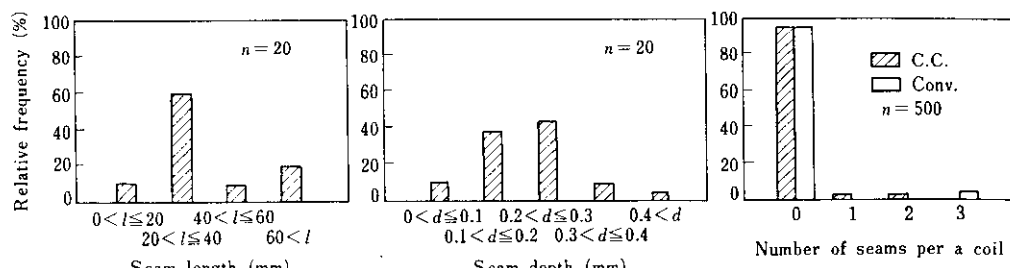


Fig. 13 Surface quality of 11mmφ wire rod for PC wire tested by magnetic inspection

3・3・4 表面欠陥

前述した連鉄ブルームの表面対策の結果、それ以降の各製造工程での表面性状も良好となっている。

Fig. 13 に PC 鋼棒用線材の 11mmφ 製品表面性状を示す。連鉄材、造塊材とも同一のビレット手入れを行った場合の製品の表面きず無し率は 96% であり、きず深さ、長さとも浅くて短いものである。また造塊材と比べて差はない。

なお、ピアノ線材、タイヤコード用線材も同様の傾向であった。

3・4 需要家の品質調査結果

以下に川鉄鋼線工業(株)で実施した高級線材の品質調査結果を示す。

3・4・1 PC 鋼棒用線材

Table 8 に示す化学組成の供試材を用い、素材 (11mmφ) → 中間伸線 (9.5mmφ) → 異形加工 (9.28 mmφ → 9.15mmφ) → 高周波加熱 (900°C ± 5°C) → 水焼入れ → 焼戻し (310°C ~ 420°C) の工程で PC 鋼棒を製造し、造塊材と比較調査を行った。製品母材、点溶接部、ヘッド部の引張試験の結果を Table 9 に示す。連鉄材は造塊材に比べ同等以上の引張特性を示している。また、ヘッド部の引張試験での破断部を調査した結果、すべてヘッダー加工に影響されない母材部の破断であった。

Table 9 Tensile properties of PC rods indicated in Table 8

Casting	Base metal		Spot weld metal		Metal after heading
	T.S. (kg/mm ²)	E1.in 200mm(%)	T.S. (kg/mm ²)	E1.in 200mm(%)	T.S. (kg/mm ²)
C.C.	79.3	9.5	79.3	9.4	79.3
Conv.	78.9	8.9	78.7	8.9	79.0

PC パイルなどオートクレーブ養生する場合、鋼棒が受ける熱履歴と同様な条件のもとで行ったリラクセイション試験結果を Table 10 に示す。この結果についても連鉄材と造塊材の差は認められない。

また、上記試験以外に電解により水素処理を実

Table 10 Relaxation test results* of the same rods as in Table 9 (wt%)

Casting	RT**	HT***
C.C.	0.49	15.0
Conv.	0.48	15.2

* Initial load: 6640kg

** RT: Room temperature at 20°C ± 2°C

*** HT: Higher temperature as follows

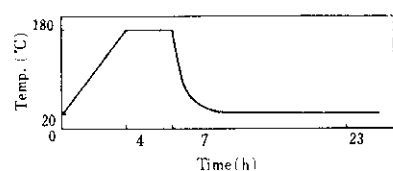


Table 8 Chemical composition of 11mmφ bars used for the production test of 9.15mmφ PC rod (wt%)

Casting	C	Si	Mn	P	S	Cu	Cr	Al	Ti
C.C.	0.25	0.54	1.41	0.014	0.008	0.06	0.08	—	0.017
Conv.	0.25	0.53	1.44	0.017	0.009	0.06	0.08	0.052	—

施した後の遅れ破壊試験および引張疲労試験を行った。いずれの試験においても連鉄材はバラツキが少なく安定している。

3・4・2 ピアノ線材

Table 11 に示す化学組成の供試材を用い、素材 ($9.5\text{mm}\phi$) → 鉛バテンディング ($500^\circ\text{C} \sim 550^\circ\text{C}$) → 酸洗 → 8ダイス連続伸線 ($4.22\text{mm}\phi$) → より線 → ブルーリング ($370^\circ\text{C} \pm 5^\circ\text{C}$) 工程で PC 鋼より線を製造し、造塊材と比較試験を行った。

各製造工程での機械的性質を調査したが、その例として Table 12 にブルーリング後のストランドより線における結果を示す。連鉄材は鋼塊材と同等であり、規格値も十分満足している。

Table 11 Chemical composition of $9.5\text{mm}\phi$ bars used for the production test of $4.22\text{mm}\phi$ piano wires (wt%)

Casting	C	Si	Mn	P	S	Al
C.C.	0.81	0.26	0.79	0.020	0.012	0.019
Conv.	0.82	0.32	0.84	0.016	0.019	0.026

3・4・3 タイヤコード用線材

Table 13 に示す化学成分の供試材を用い、素材 ($5.5\text{mm}\phi$) → 酸洗 → 表面処理 → 1次伸線 ($5.5\text{mm}\phi$) → $3.0\text{mm}\phi$ → 鉛バテンディング (950°C) → 酸洗 →

表面処理 → 2次伸線 ($3.0\text{mm}\phi \rightarrow 0.8\text{mm}\phi$) → 鉛バテンディング (950°C) → 酸洗 → ブラスマッキ ($\text{Cu:Zn} = 7 : 3$) → 3次伸線 ($0.8\text{mm}\phi \rightarrow 0.15\text{mm}\phi$) の製造工程および製造条件でタイヤコードを製造し、造塊材と比較試験を行った。

Table 14, 15 に伸線後の引張試験および屈曲試験結果を示す。この結果では連鉄材、造塊材とも良好であった。屈曲値は、材料が破壊するまでの歪量あるいは破壊応力に依存するが、その延性破壊歪は介在物が多いほど少くなり、破壊応力は介在物の幅が大きいほど低くなると Telelman⁶⁾ は述べている。またペナルティポイントは、前述のように介在物の個数、大きさで評点化している。したがって、Fig. 12 で示したように連鉄材、造塊材ともペナルティポイントが良好であったことが屈曲値の良さにつながったものと言えよう。

なお、上記試験のほかに伸線後の捻回試験、伸線時の断線回数を調査したが、いずれの試験においても連鉄材と造塊材は同等であった。

以上により、連鉄材の PC 鋼棒用線材、ピアノ線材およびタイヤコード用線材は、それぞれに要求される諸品質特性について造塊材と同等もしくは優れていることがわかった。

4. 繰目無鋼管

繰目無鋼管の用途は一般配管用、機械構造用、

Table 12 Tensile properties of strands from piano wires indicated in Table 11

Casting	n	Tensile load (kg)	Elongation in 610mm (%)	1.0% offset load (kg)	Modulus of elasticity (kg/mm ²)
					Al
C.C.	10	18 800	6.9	16 650	20 800
Conv.	10	18 800	6.7	16 650	—
Standard value		≥ 18 734	≥ 3.5	≥ 15 922	—

Table 13 Chemical composition of $5.5\text{mm}\phi$ wires used for the production test of $0.15\text{mm}\phi$ tire cord

Casting	C	Si	Mn	P	S	Al		N (ppm)	O (ppm)
						Sol.	Insol.		
C.C.	0.73	0.25	0.59	0.020	0.012	0.001	0.001	40	60
Conv.	0.73	0.26	0.63	0.014	0.013	0.001	0.001	46	15

Table 14 Tensile properties of tire cords indicated in Table 13 (grade : KTC70, n=10)

Specimen	Casting	0.2% offset strength (kg/mm ²)	T.S. (kg/mm ²)	E1. in 100mm (%)
5.5mmφ as-patented	C.C.	66.0	109.6	9.8
	Conv.	65.2	106.3	9.7
3.0mmφ as-drawn	C.C.	127.3	155.9	3.9
	Conv.	117.4	154.5	3.9
0.8mmφ as-drawn	C.C.	223.2	233.9	1.0
	Conv.	209.6	229.5	1.0
0.15mmφ as-drawn	C.C.	—	291.8	—
	Conv.	—	291.5	—

Table 15 Bending test results* of the same tire cords as in Table 14 (grade : KTC70, n=50)

Specimen	Casting	Number of bendings**
5.5mmφ as-patented	C.C.	43.3
	Conv.	43.0
3.0mmφ as-drawn	C.C.	159.1
	Conv.	158.7
0.8mmφ as-drawn	C.C.	62.0
	Conv.	62.0
0.5mmφ as-drawn	C.C.	110.9
	Conv.	110.7

* Piece length : 150mm

Bending speed : 264rpm

Bending dia. : 10.4mmφ

** 90° per a time

パイラー用、油井用などに加えて、近年はラインパイプ用、原子力用にも利用され、その生産量の拡大および大径化には著しいものがある。これにそなえ、生産能力の向上、品質の均一化、省エネルギーなどを主目的として、当社知多工場のMannesmann式マンドレルミル用素材ビレットへの連鉄法の適用を図ってきた。その結果、一般配管用、機械構造用の大部分および油井用の一部を連鉄ブルームより供給するに至っている。Mannesmann穿孔法では管材がロールとプラグの間で複雑なメタルフローを呈するため、ビレットの表面欠陥、内部欠陥が鋼管内外面の欠陥として残存しやすい。

これら連鉄製ブルームより製造された管材の諸特性を以下に述べる。

4・1 所要圧延比

穿孔時のきず発生を左右する素材の熱間加工性に及ぼす圧延比の影響を調べた。連鉄製ブルームから鍛造した試験片について熱間ねじり試験を実施した結果をFig. 14に示す。試験結果はその時の試験条件により異なるので単純な比較はできないが、当社における従来の結果から破断回転数がほぼ80回以上なら穿孔上問題ないと考えられる。鍛造比

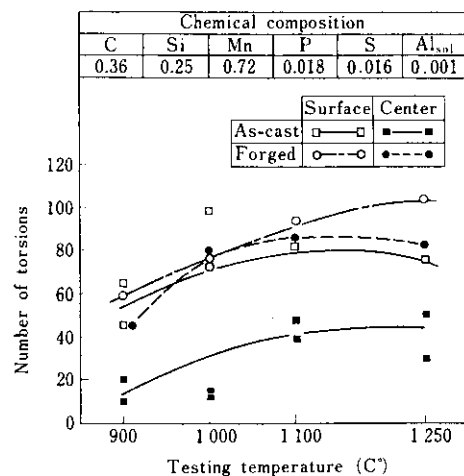


Fig. 14 Comparison of hot torsion property between as continuously cast bloom and forged specimens from continuously cast and rolled 110mmφ billet with forging ratio of 2.0

2.0で加熱温度が高いものはこの条件を満足しているが、鋳造組織のままでは穿孔時に内面欠陥が発生する可能性が大きい。実機での造管試験においても鋳造組織のものでは管内面欠陥が発生し、この試験結果が裏づけられた。なおこの造管試験において鋳造組織の素材でも穿孔温度を高めることにより管内面欠陥を軽減させうとの結果を得た⁷⁾が、やはりまだ軽度の欠陥が残存しており満足すべきものではなかった。これらの結果から、素材ビレットの圧延比は2.0以上が望ましいと判断される。

4・2 管内外面の欠陥

管内面および外面欠陥として多く検出されるのはヘゲ状欠陥である。とくに外面へげきずは素材欠陥に起因することが多く、連鉄ブルームのひび割れ、気泡欠陥を解消することにより著しく改善される。

内面へげきずの起点となるものとしては、素材中心部のMnSなど非金属介在物および未圧着のポロシティーなど微小欠陥をあげることができるが、前項に述べたように必要な圧延比を与えられたビレットではその影響がほとんどなく良好な管材が得られている。Fig. 15に構造用および油井用継目無鋼管の管内外面へげきず発生状況を造塊材と比較して示す。連鉄材は造塊材と同等以上の成績を示している。

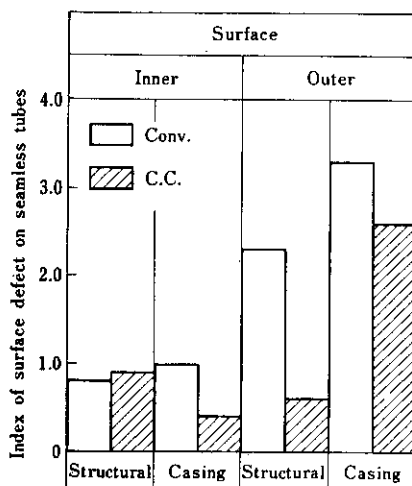


Fig. 15 Comparison of surface defects on seamless structural and casing tubes

4・3 管材の内部清浄性

Fig. 16に構造用継目無鋼管の3段削り地きず試験結果を示す。JISの規定に準じた判定法で造塊材よりかなり良い成績が得られた。連鉄材で発見された欠陥はすべて微小なものである。

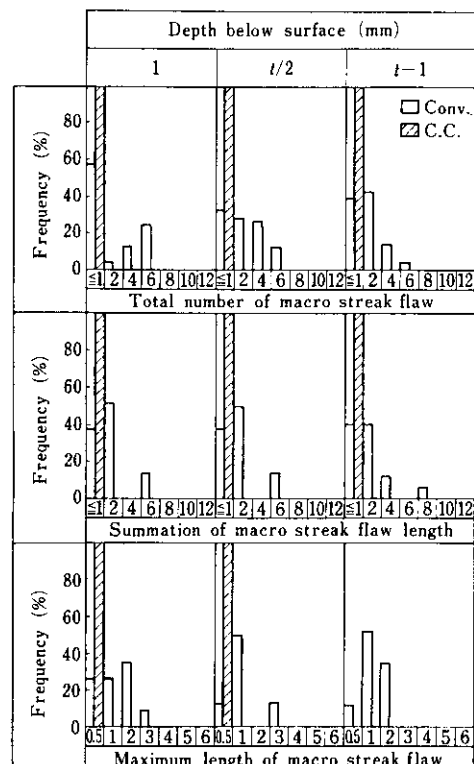


Fig. 16 Step machining test results of machine structural seamless tubes

4・4 連鉄製継目無鋼管の均一性

連鉄製ブルームは鋳造時に連続的かつ均一に冷却されるため、インゴット材でしばしばみられるようなトップ部の濃厚偏析帯およびボトム部の負偏析帯の存在しないことが特徴である。

Fig. 17に連鉄ブルームより製造した炭素鋼継目無鋼管の引張試験結果を示す。試験片を鋳込初期、中期および終期より採取しているが、造塊材にみられる鋼塊位置による差はなく、連鉄材の均一性は良好である。

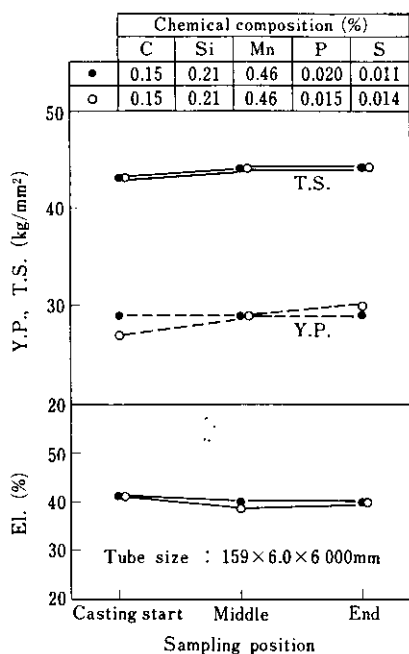


Fig. 17 Mechanical properties of STS38 seamless carbon steel tube rolled from C.C. bloom

5. 結 言

当社水島製鉄所に設置した連続鋳造設備で高級品種である機械構造用炭素鋼棒鋼、PC鋼棒用線材、ピアノ線材、タイヤコード用線材および継目無鋼管を製造し、その製品品質特性を調査した。この結果、従来の造塊材と同等もしくはそれ以上であることが確認できた。

本報では品質面からのみの調査結果を述べたが、連鋳法のもう一つの大きな特徴は製造工程における歩留りの大幅な向上である。高級条鋼製品の連鋳による製造が一般化し生産量が増大した際には、分塊圧延工程の省略とあいまって製造コストの大幅な改善が期待できる。

おわりに、連鋳材の最終製品の品質特性把握に対し御協力いただいた川鐵鋼線工業㈱に厚く感謝の意を表します。

参考文献

- 1) 川崎製鉄㈱水島製鉄所：日本鉄鋼協会共同研究会第41回製鋼部会 41-22, (1968)
- 2) 児玉, 千野, 小出: 川崎製鉄技報, 7 (1975) 2, 15
- 3) 江本, 児玉ほか: 川崎製鉄技報, 9 (1977) 3・4, 22
- 4) 河合, 木村: 鉄と鋼, 44 (1958) 6, 650
- 5) 岡本, 仕幸: 製鉄研究, (1967) 261, 35
- 6) A.S.Tetelman, A.J.Macevily: 構造材料の強度と破壊1, (1970), 65 and 234, [培風館]
- 7) 辻, 平野, 佐山: 川崎製鉄技報, 7 (1975) 2, 77